



209117



การเตรียมและการศึกษาสมบัติเชิงกลของวัสดุเป็นประกอบของสารไฮดรอกซีอะพาไทท์
ที่มีสิ่งอ่อนนacr์ในโครงสร้างและผลิตภัณฑ์และโภคภัย

PREPARATION AND MECHANICAL PROPERTIES OF
SILICON-SUBSTITUTED HYDROXYAPATITE/
POLYCAPROLACTONE COMPOSITES

นนท์ ธรรมรงค์ โนรนันด์

วิทยานิพนธ์ปริญญาโทสาขาวิชาเคมีทรัพยากรูปแบบพิเศษ
มหาวิทยาลัยขอนแก่น

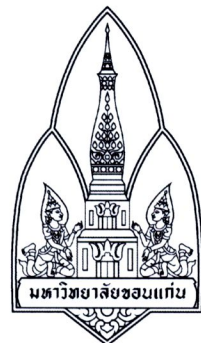
พ.ศ. 2554

b009257342

ห้องสมุดงานวิจัย สำนักงานคณะกรรมการการอุดมศึกษา



209117



การเตรียมและการศึกษาสมบัติเชิงกลของวัสดุเชิงประดิษฐ์ของสารไฮดรอกซีอะพาไทต์
ที่มีซิลิกอนในโครงสร้างและพอลิคาโพโรแลคโทน

**PREPARATION AND MECHANICAL PROPERTIES OF
SILICON-SUBSTITUTED HYDROXYAPATITE/
POLYCAPROLACTONE COMPOSITES**



นางสาวมาศกร โภวันนัง

วิทยานิพนธ์ปริญญาวิทยาศาสตรมหาบัณฑิต
มหาวิทยาลัยขอนแก่น

พ.ศ. 2554

การเตรียมและการศึกษาสมบัติเชิงกลของวัสดุเชิงประกลับของสารไฮดรอกซีอะพาไทต์
ที่มีชิลิกอนในโครงสร้างและพอลิคาโรฟแลคโทน

นางสาวมาศกร โภวันนัง

วิทยานิพนธ์นี้เป็นส่วนหนึ่งของการศึกษาตามหลักสูตรปริญญาวิทยาศาสตรมหาบัณฑิต
สาขาวิชาพิสิกส์

บัณฑิตวิทยาลัย มหาวิทยาลัยขอนแก่น

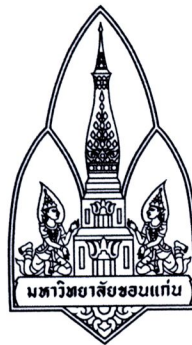
พ.ศ. 2554

**PREPARATION AND MECHANICAL PROPERTIES OF
SILICON-SUBSTITUTED HYDROXYAPATITE/
POLYCAPROLACTONE COMPOSITES**

MISS MADSAKORN TOWANNANG

**A THESIS SUBMITTED IN PARTIAL FULFILLMENT OF THE REQUIREMENTS
FOR THE DEGREE OF MASTER OF SCIENCE
IN PHYSICS
GRADUATE SCHOOL KHON KAEN UNIVERSITY**

2011



ใบรับรองวิทยานิพนธ์
มหาวิทยาลัยขอนแก่น
หลักสูตร
วิทยาศาสตรมหาบัณฑิต
สาขาวิชาพิสิกส์

ชื่อวิทยานิพนธ์: การเตรียมและการศึกษาสมบัติเชิงกลของวัสดุเชิงประกลบทองสารไชครองซีอะพาไทท์ที่มีชิลิกอนในโครงสร้างและพอลิค้าโพรแลคโภน

ชื่อผู้ทำวิทยานิพนธ์: นางสาวมาศกร โทวันนัง

คณะกรรมการสอบวิทยานิพนธ์

ดร. สมัคร พิมานแพง
ดร. จุฬารัตน์ กลิ่นแก้วณรงค์
ดร. สุภาสินี ชีท
ผศ.ดร. เอกพรณ สวัสดิ์ชิตตัง

ประธานกรรมการ
กรรมการ
กรรมการ
กรรมการ

อาจารย์ที่ปรึกษาวิทยานิพนธ์:

.....
(อ.ดร. สุภาสินี ชีท)
อาจารย์ที่ปรึกษา

.....
(ผู้ช่วยศาสตราจารย์ ดร. เอกพรณ สวัสดิ์ชิตตัง)
อาจารย์ที่ปรึกษาร่วม

.....
(รองศาสตราจารย์ ดร. ลำปาง แม่นมาตย์)

.....
(ผู้ช่วยศาสตราจารย์ ดร. เกียรติ แสงอรุณ)

.....
คณบดีบัณฑิตวิทยาลัย

.....
คณบดีคณะวิทยาศาสตร์

ลิขสิทธิ์ของมหาวิทยาลัยขอนแก่น

มาศกร โถวันนัง. 2554. การเตรียมและการศึกษาสมบัติเชิงกลของวัสดุเชิงประกลองสารไฮดรอกซีอะพาไทต์ที่มีซิลิคอนในโครงสร้างและพอลิคาโพรัลค็อกโนน. วิทยานิพนธ์ปริญญาวิทยาศาสตรมหาบัณฑิต สาขาวิชาฟิสิกส์ บัณฑิตวิทยาลัย มหาวิทยาลัยขอนแก่น.

อาจารย์ที่ปรึกษาวิทยานิพนธ์: ดร. สุภาสินี ชีท,

ผศ.ดร. เอกพรรณ สวัสดิชิตัง

บทคัดย่อ

209117

งานวิจัยนี้ได้แบ่งออกเป็น 3 ส่วน คือ ส่วนแรกเป็นการสังเคราะห์วัสดุพง ไฮดรอกซีอะพาไทต์ (hydroxyapatite: HA) และ ไฮดรอกซีอะพาไทต์ที่มีซิลิคอนในโครงสร้าง (silicon-substituted hydroxyapatite: SiHA) ส่วนที่สองเป็นการเตรียมวัสดุเชิงประกลองระหว่าง HA กับพอลิคาโพรัลค็อกโนน (polycaprolactone: PCL) หรือ HA/PCL และ SiHA/PCL และสุดท้ายได้ทำการศึกษาสมบัติความต้านทานแรงกด (compressive strength)

สำหรับการสังเคราะห์วัสดุพง ไฮดรอกซีอะพาไทต์ สารตั้งต้นที่ใช้คือ เปปเลือกไช่และกรดฟอสฟอริก ฟูมดซิลิคอนไช่เป็นแหล่งของซิลิคอน (Si) วัสดุพง HA และ SiHA ที่ได้จากการตกตะกอน ถูกนำไปแคลไซน์ที่อุณหภูมิ 600, 700, 800, 900 และ 1000°C เป็นเวลา 2 ชั่วโมง จากการศึกษาด้วยเทคนิค XRD พบว่าเฟสที่เกิดขึ้น สอดคล้องกับเฟสของ HA และมีเฟสของ β -TCP เลือปนเล็กน้อย เมื่ออุณหภูมิการแคลไซน์ตั้งแต่ 900°C หรือมากกว่า จากการศึกษาด้วยเทคนิค SEM และ TEM พบว่าวัสดุพงที่ได้เป็นแบบพหุผลึกที่มีรูปร่างเป็นทรงกลม และมีขนาดอนุภาคน้อยกว่า 100 nm ในส่วนของการสังเคราะห์ SiHA ที่เติม Si ตั้งแต่ 1-5 wt% ใน HA และวัสดุพงที่ได้จากการตกตะกอนถูกนำไปแคลไซน์ที่ 600, 700 และ 800°C เป็นเวลา 4 ชั่วโมง พบว่าเฟสหลักที่เกิดขึ้นเป็นเฟสของ HA ที่มีเฟสของ β -TCP และแคลเซียมซิลิเกต (Ca_2SiO_4) กลอมปน สำหรับค่าแผลตทิชพารามิเตอร์ a และ c ของ SiHA พบว่ามีค่าเพิ่มขึ้นเมื่อเปรียบเทียบกับ HA บริสุทธิ์ ซึ่งให้เห็นการแทนที่ของ Si ในโครงสร้าง HA ซึ่งยืนยันการมีอยู่ของ Si โดยการศึกษาด้วยเทคนิค FTIR พบว่ามีพิคซิลิเกตเกิดขึ้นที่ตำแหน่งเลขคณิต 750 cm^{-1} นอกจากนั้นยังพบว่าความเข้มของพิคของหมู่ฟอสเฟตทั้งหมดมีค่าลดลงทุกเงื่อนไข

สำหรับการศึกษาความต้านทานแรงกดของวัสดุเชิงประกลอง HA/PCL หรือ SiHA/PCL เพื่อที่จะปรับปรุง สมบัติเชิงกล สารตัวอ่อน HA, SiHA, HA/PCL และ SiHA/PCL ถูกเตรียมโดยเทคนิคการอัดแบบแคนเดี้ยว (uniaxial) สารตัวอ่อนที่เตรียมได้ถูกนำไปศึกษาด้วยเครื่อง universal testing machine (UTM) ภายใต้荷重ของแรงกด พบร่ว่าสารตัวอ่อนทั้งหมดมีค่าความต้านทานแรงกดอยู่ในช่วง 2.1010-39.5021 MPa และค่าโมดูลัสของยังอยู่ในช่วง 42.0699-84.7220 MPa

Madsakorn Towannang. 2011. *Preparation and Mechanical Properties of Silicon-substituted Hydroxyapatite/*

Polycaprolactone Composites. Master of Science Thesis in Physics, Graduate School, Khon Kaen University.

Thesis Advisor: Dr. Suphasinee Seet,

Asst. Prof. Dr. Ekaphan Swatsitang

ABSTRACT

200117

This research is divided into three parts: the syntheses of hydroxyapatite (HA) and silicon-substituted HA (SiHA) powders, the preparations of HA/polycaprolactone (PCL) and SiHA/PCL composites, and finally a compressive strength test was conducted.

For the HA powder synthesis, egg shells and phosphoric acid were used as the starting materials. Fumed silica was used as a source of silicon. HA and SiHA powders were obtained via a chemical precipitation method and were calcined at 600, 700, 800, 900 and 1000°C for 2 hours. From XRD study, it was found that all the peaks correspond to HA pure phase with a small amount of tricalcium phosphate (β -TCP) as a second phase when it was calcined at 900°C or higher. From SEM and TEM studies, it was found that the obtained powders were polycrystalline, spherical in shape and less than 100 nm in diameter. In case of SiHA synthesis, Si was added at 1-5 wt% of HA and the precipitated powder were calcined at 600, 700 and 800°C for 4 hours. The HA was found as the main phase with β -TCP and calcium silicate as second phases. The lattice parameters a and c of SiHA were slightly increased when compared to those of pure HA, indicating the substitution of Si into HA structure. The existence of Si was confirmed by the FTIR study, where the silicate peak was found at the wave number of 750 cm^{-1} . Moreover, the intensities of all the phosphate peaks in all prepared sample were decreased.

For compressive strength study, PCL was mixed with HA or SiHA to prepare HA/PCL or SiHA/PCL composites in order to improve the mechanical properties. HA, SiHA, HA/PCL and SiHA/PCL samples were prepared by an uniaxial press technique. The obtained samples were subjected to the universal testing machine (UTM) under the compression mode. It was found that all the samples had a compressive strength between 2.1010-39.5021 MPa and Young's modulus between 42.0699-84.7220 MPa.

ขอขอบคุณดีในงานวิทยานิพนธ์นี้แด่

บิดา มารดา ครอบครัว และคณาจารย์

กิตติกรรมประกาศ

การทำวิจัยในครั้งนี้ผู้ทำวิจัยขอขอบพระคุณ อาจารย์ ดร. สุภาสินี ชีท อาจารย์ที่ปรึกษาวิทยานิพนธ์ และ ผู้ช่วยศาสตราจารย์ ดร. เอกพรรณ สวัสดิชิตติ อาจารย์ที่ปรึกษาร่วมวิทยานิพนธ์ ที่ได้กรุณาให้คำปรึกษา คำแนะนำ แก่ฯ กับการศึกษาวิจัย และอบรมสั่งสอนให้เป็นคนดี มีความเพียร และช่วยสร้างกำลังใจที่ส่งผลให้มีความมุ่นมาะ พยายามทำงานวิจัยนี้จนสำเร็จ

ขอกราบขอบพระคุณคณะกรรมการสอบ อาจารย์ ดร. สมัคร พิมานแพง และอาจารย์ ดร. จุฬารัตน์ กลั่นแก้ววนรงค์ สำหรับคำแนะนำและดิฉันที่ช่วยให้วิทยานิพนธ์นี้มีความสมบูรณ์มากขึ้น

ขอขอบพระคุณ อาจารย์ ดร. สุปรีดี พินจสุนทร ที่เอื้อเฟื้อในการใช้เบ้าอัดเม็ด เพื่อนำไปทดสอบสมบัติ เชิงกล ซึ่งเป็นส่วนสำคัญในงานวิจัย

ขอขอบพระคุณคณาจารย์ประจำภาควิชาฟิสิกส์ คณะวิทยาศาสตร์ มหาวิทยาลัยขอนแก่น ทุกท่านที่กรุณา ประลิทร์ประสานความรู้และประสบการณ์อันมีค่าช่วยแก่คิชช์

ขอขอบคุณภาควิชาฟิสิกส์ คณะวิทยาศาสตร์ มหาวิทยาลัยขอนแก่น ที่เอื้อเฟื้อวัสดุอุปกรณ์และเครื่องมือในการทำวิทยานิพนธ์

ขอขอบคุณภาควิชาชีววิทยา คณะวิทยาศาสตร์ มหาวิทยาลัยขอนแก่น ที่เอื้อเฟื้อการใช้กล้องจุลทรรศน์ อิเล็กตรอนแบบส่อง粒ด

ขอขอบคุณภาควิชาเคมี คณะวิทยาศาสตร์ มหาวิทยาลัยขอนแก่น ที่เอื้อเฟื้อการใช้เครื่องมือวิเคราะห์ TG/DTA และ FTIR

ขอขอบคุณคณะทันตแพทยศาสตร์ มหาวิทยาลัยขอนแก่น ที่เอื้อเฟื้อการใช้เครื่องมือวิเคราะห์สมบัติเชิงกล โดยใช้เครื่อง UTM

ขอขอบคุณสถานบริการวิทยาศาสตร์และเทคโนโลยี คณะวิทยาศาสตร์ มหาวิทยาลัยเชียงใหม่ ที่เอื้อเฟื้อ การใช้กล้องจุลทรรศน์อิเล็กตรอนแบบส่อง粒ดและกล้องจุลทรรศน์อิเล็กตรอนแบบส่องผ่าน

ขอขอบพระคุณศูนย์วิจัยนาโนเทคโนโลยีบีญูรณาการ มหาวิทยาลัยขอนแก่น ที่ให้ทุนอุดหนุนและส่งเสริม การทำวิทยานิพนธ์ในครั้งนี้

ขอขอบคุณนักศึกษาระดับบัณฑิตศึกษาประจำภาควิชาฟิสิกส์ ภาควิชาเคมี และภาควิชาชีวเคมี คณะวิทยาศาสตร์ มหาวิทยาลัยขอนแก่นที่ได้ให้กำลังใจ อยู่คู่และช่วยเหลือเป็นอย่างดีเสมอมา

ขอขอบคุณร้านน้องเนยเบเกอรี่ และร้านโรตีป้าทาน ที่ให้ความอนุเคราะห์เปลือกไข่ไก่ เพื่อนำมาใช้ใน งานวิจัยนี้

ท้ายที่สุด ขอกราบขอบพระคุณ คุณพ่อสาคร โภวันนัง คุณแม่หนูพิพิญ โภวันนัง และครอบครัวโภวันนัง ทุกคน ที่ได้กรุณาอบรมสั่งสอนให้เป็นคนดี ช่วยสนับสนุนการทำงาน รวมทั้งให้กำลังใจด้วยดีมาโดยตลอด

สารบัญ

	หน้า
บทคัดย่อภาษาไทย	ก
บทคัดย่อภาษาอังกฤษ	ข
คำอุทิศ	ค
กิตติกรรมประกาศ	ง
สารบัญตาราง	ช
สารบัญภาพ	ซ
บทที่ 1 บทนำ	1
1.1 ความเป็นมาและความสำคัญของปัจจุบัน	1
1.2 วัตถุประสงค์ของการวิจัย	2
1.3 ขอบเขตของการวิจัย	2
1.4 สถานที่ทำการวิจัย	3
1.5 ประโยชน์ที่คาดว่าจะได้รับ	3
1.6 โครงสร้างของวิทยานิพนธ์	3
บทที่ 2 วรรณกรรมและงานวิจัยที่เกี่ยวข้อง	4
2.1 สารประกอบแคลเซียมฟอสเฟต	4
2.2 การเปลี่ยนแปลงทางความร้อนของสารแคลเซียมฟอสเฟต	5
2.3 ไฮดรอกซีอะพาไทต์	7
2.4 พอลิเมอร์	12
2.5 การสังเคราะห์ไฮดรอกซีอะพาไทต์	14
2.6 การประยุกต์ใช้ HA ในทางการแพทย์และทางทันตกรรม	17
บทที่ 3 วิธีการวิจัย	18
3.1 การเตรียมสารแคลเซียมออกไซด์จากเปลือกไข่ไก่	18
3.2 การสังเคราะห์วัสดุผง HA โดยวิธีการตกตะกอน	19
3.3 การสังเคราะห์วัสดุผง SiHA โดยวิธีการตกตะกอน	21
3.4 การเตรียมวัสดุเชิงประกอบของ HA/PCL	23
3.5 การเตรียมวัสดุเชิงประกอบของ SiHA/PCL	24
3.6 การศึกษาลักษณะของวัสดุผง HA และ SiHA	25
3.7 การศึกษาสมบัติเชิงกลของสาร HA, SiHA และวัสดุเชิงประกอบของ HA/PCL, SiHA/PCL	29

สารบัญ (ต่อ)

	หน้า
บทที่ 4 ผลการวิจัยและอภิปรายผล	31
4.1 ผลการศึกษาวัสดุคงไชครอกซีอะพาไทต์	31
4.2 ผลการศึกษาวัสดุคงไชครอกซีอะพาไทต์ที่มีซิลิกอนในโครงสร้าง	45
4.3 ผลการศึกษาสมบัติเชิงกลของชิ้นงาน HA, SiHA, HA/PCL และ SiHA/PCL	61
บทที่ 5 สรุปผลและข้อเสนอแนะ	74
5.1 สรุปผลการทดลอง	74
5.2 ข้อเสนอแนะ	75
เอกสารอ้างอิง	76
ภาคผนวก	79
ประวัติผู้เขียน	86

สารบัญตาราง

	หน้า
ตารางที่ 2.1 ประเภทของสารประกอบแคลเซียมฟอสเฟต	4
ตารางที่ 2.2 การประยุกต์ใช้งาน HA ทางด้านการแพทย์ และทางทันตกรรม	17
ตารางที่ 3.1 รายละเอียดเกี่ยวกับเทคนิคในการวิเคราะห์วัสดุผง HA และ SiHA	25
ตารางที่ 4.1 ขนาดอนุภาค และalletทิชพารามิเตอร์ a และ c ของวัสดุผง HA ที่อบแห้งและแคลไนซ์ที่อุณหภูมิต่างๆ เป็นเวลา 2 ชั่วโมง	34
ตารางที่ 4.2 ตำแหน่งของเลขคิ้นที่มีการคูดคลื่นแสงอินฟราเรดของหมู่ไฟก์ชันต่างๆ	36
ตารางที่ 4.3 ผลการคำนวณระยะห่างระหว่างระนาบเพื่อระบุโครงสร้างเฟสที่มีภายในอนุภาค HA แคลไนซ์ที่อุณหภูมิ $600\text{--}900^\circ\text{C}$ เป็นเวลา 2 ชั่วโมง (H : Hexagonal)	41
ตารางที่ 4.4 ขนาดอนุภาคและalletทิชพารามิเตอร์ a และ c ของวัสดุผง SiHA ที่เติม Si ตั้งแต่ 0, 1, 2, 3, 4 และ 5 wt%	51
ตารางที่ 4.5 ผลการทดสอบความต้านทานแรงกดและโมดูลัสของยังของชิ้นงานวัสดุเชิงประกอบของ HA/PCL	61
ตารางที่ 4.6 ผลการทดสอบความแข็งแรงกด และโมดูลัสของยังของชิ้นงานวัสดุเชิงประกอบของ SiHA/PCL	66

สารบัญภาพ

	หน้า
ภาพที่ 2.1 ผลึกโครงสร้างของ HA	7
ภาพที่ 2.2 ภาพตำแหน่งอะตอมโครงสร้างของ HA	8
ภาพที่ 2.3 สมบัติเชิงกลของวัสดุ HA ขึ้นอยู่กับอัตราส่วนของ Ca/P	9
ภาพที่ 2.4 ภาพถ่ายลักษณะของเซลล์บนชิ้นงานที่แห้งในสารละลายน้ำ HOBs เป็นเวลา 31 วัน	12
ภาพที่ 2.5 ภาพโครงสร้างอย่างง่ายของ PCL	13
ภาพที่ 2.6 ภาพถ่าย SEM ของผลึก HA ที่เตรียมโดยวิธีไฮโดรเทอร์มอล ที่อุณหภูมิ 200°C เป็นเวลา 24 ชั่วโมง โดยสารตั้งต้นที่เตรียมที่อุณหภูมิห้องมีค่า pH เป็น 10	15
ภาพที่ 2.7 ภาพถ่าย SEM ของวัสดุผง HA	16
ภาพที่ 2.8 รูปแบบการเลี้ยวเบนรังสีเอ็กซ์ของวัสดุผง HA โดย heat ที่อุณหภูมิต่างๆ	16
ภาพที่ 3.1 แผนภาพการเตรียมวัสดุผงแคลเซียมออกไซด์จากเปลือกไข่ไก่	19
ภาพที่ 3.2 แผนภาพการสังเคราะห์วัสดุผง HA จากเปลือกไข่ โดยวิธีการตกตะกอน	20
ภาพที่ 3.3 แผนภาพแสดงการสังเคราะห์วัสดุผง SiHA จากเปลือกไข่กับฟูมซิลิกาโดยวิธีการตกตะกอน	22
ภาพที่ 3.4 แผนภาพแสดงการเตรียมวัสดุเชิงประกลบทอง HA/PCL	23
ภาพที่ 3.5 แผนภาพแสดงการเตรียมวัสดุเชิงประกลบทอง SiHA/PCL	24
ภาพที่ 3.6 ลักษณะการวางชิ้นงานสำหรับทดสอบสมบัติแรงกด	29
ภาพที่ 4.1 การถ่ายตัวทางความร้อนของวัสดุผง HA (อบที่ 80°C) โดยใช้เทคนิค TG/DTA	31
ภาพที่ 4.2 รูปแบบการเลี้ยวเบนของรังสีเอ็กซ์จากเทคนิค XRD ของวัสดุผง HA ที่อบ 80°C เป็นเวลา 24 ชั่วโมง และเผาแคลไซน์ที่อุณหภูมิ 600-1000°C เป็นเวลา 2 ชั่วโมง	33
ภาพที่ 4.3 กราฟแสดงความสัมพันธ์ระหว่างขนาดอนุภาคกับอุณหภูมิการแคลไซน์ของวัสดุ HA	34
ภาพที่ 4.4 อินฟราเรดสเปกตรัมของวัสดุผง HA ที่ผ่านการแคลไซน์ที่อุณหภูมิต่างๆ เป็นเวลา 2 ชั่วโมง	37
ภาพที่ 4.5 ภาพถ่าย SEM กำลังขยาย 30,000 เท่า ของวัสดุผง HA ที่ผ่านการแคลไซน์ตั้งแต่ 600-1000°C เป็นเวลา 2 ชั่วโมง	38
ภาพที่ 4.6 ภาพถ่าย SEM กำลังขยาย 70,000 เท่า ของวัสดุผง HA ที่ผ่านการแคลไซน์ตั้งแต่ 600-1000°C เป็นเวลา 2 ชั่วโมง	39
ภาพที่ 4.7 ภาพถ่าย TEM และรูปแบบการเลี้ยวเบนของอิเล็กตรอนของวัสดุผง HA ที่ผ่านการแคลไซน์ที่อุณหภูมิต่างๆ เป็นเวลา 2 ชั่วโมง	42
ภาพที่ 4.8 รูปแบบการเลี้ยวเบนของรังสีเอ็กซ์จากเทคนิค XRD ของวัสดุผง SiHA ที่อบ 90°C เป็นเวลา 24 ชั่วโมง	47

สารบัญภาพ (ต่อ)

	หน้า
ภาพที่ 4.9 รูปแบบการเลี้ยวเบนของรังสีอีกซ์จากเทคนิค XRD ของวัสดุผง SiHA ที่เผาแคลไซน์ที่อุณหภูมิ 600°C เป็นเวลา 4 ชั่วโมง	48
ภาพที่ 4.10 รูปแบบการเลี้ยวเบนของรังสีอีกซ์จากเทคนิค XRD ของวัสดุผง SiHA ที่เผาแคลไซน์ที่อุณหภูมิ 700°C เป็นเวลา 4 ชั่วโมง	49
ภาพที่ 4.11 รูปแบบการเลี้ยวเบนของรังสีอีกซ์จากเทคนิค XRD ของวัสดุผง SiHA ที่เผาแคลไซน์ที่อุณหภูมิ 800°C เป็นเวลา 4 ชั่วโมง	50
ภาพที่ 4.12 กราฟแสดงความสัมพันธ์ระหว่างขนาดอนุภาคกับปริมาณการเติม Si ในวัสดุผง HA ที่อบแห้ง และแคลไซน์ที่อุณหภูมิ 600-800°C เป็นเวลา 4 ชั่วโมง	52
ภาพที่ 4.13 กราฟแสดงความสัมพันธ์ระหว่างแลดติซพารามิเตอร์ <i>a</i> และ <i>c</i> กับปริมาณการเติม Si ในวัสดุผง HA ที่อบแห้ง และแคลไซน์ที่อุณหภูมิ 600-800°C เป็นเวลา 4 ชั่วโมง	53
ภาพที่ 4.14 สเปกตรัม FTIR ของวัสดุผง HA และ SiHA ที่ยังไม่แคลไซน์ ได้แก่ HA บริสุทธิ์, $\text{Si}_{1.0}\text{HA}$ คือ HA ที่เติมซิลิกอน 1 wt%, $\text{Si}_{2.0}\text{HA}$ คือ HA ที่เติมซิลิกอน 2 wt%, $\text{Si}_{3.0}\text{HA}$ คือ HA ที่เติมซิลิกอน 3 wt%, $\text{Si}_{4.0}\text{HA}$ คือ HA ที่เติมซิลิกอน 4 wt% และ $\text{Si}_{5.0}\text{HA}$ คือ HA ที่เติมซิลิกอน 5 wt%	55
ภาพที่ 4.15 สเปกตรัม FTIR ของวัสดุผง HA และ SiHA ที่แคลไซน์ 600°C เป็นเวลา 4 ชั่วโมง ได้แก่ HA บริสุทธิ์, $\text{Si}_{1.0}\text{HA}$ คือ HA ที่เติมซิลิกอน 1 wt%, $\text{Si}_{2.0}\text{HA}$ คือ HA ที่เติมซิลิกอน 2 wt%, $\text{Si}_{3.0}\text{HA}$ คือ HA ที่เติมซิลิกอน 3 wt%, $\text{Si}_{4.0}\text{HA}$ คือ HA ที่เติมซิลิกอน 4 wt% และ $\text{Si}_{5.0}\text{HA}$ คือ HA ที่เติมซิลิกอน 5 wt%	56
ภาพที่ 4.16 สเปกตรัม FTIR ของวัสดุผง HA และ SiHA ที่แคลไซน์ 700°C เป็นเวลา 4 ชั่วโมง ได้แก่ HA บริสุทธิ์, $\text{Si}_{1.0}\text{HA}$ คือ HA ที่เติมซิลิกอน 1 wt%, $\text{Si}_{2.0}\text{HA}$ คือ HA ที่เติมซิลิกอน 2 wt%, $\text{Si}_{3.0}\text{HA}$ คือ HA ที่เติมซิลิกอน 3 wt%, $\text{Si}_{4.0}\text{HA}$ คือ HA ที่เติมซิลิกอน 4 wt% และ $\text{Si}_{5.0}\text{HA}$ คือ HA ที่เติมซิลิกอน 5 wt%	57
ภาพที่ 4.17 สเปกตรัม FTIR ของวัสดุผง HA และ SiHA ที่แคลไซน์ 800°C เป็นเวลา 4 ชั่วโมง ได้แก่ HA บริสุทธิ์, $\text{Si}_{1.0}\text{HA}$ คือ HA ที่เติมซิลิกอน 1 wt%, $\text{Si}_{2.0}\text{HA}$ คือ HA ที่เติมซิลิกอน 2 wt%, $\text{Si}_{3.0}\text{HA}$ คือ HA ที่เติมซิลิกอน 3 wt%, $\text{Si}_{4.0}\text{HA}$ คือ HA ที่เติมซิลิกอน 4 wt% และ $\text{Si}_{5.0}\text{HA}$ คือ HA ที่เติมซิลิกอน 5 wt%	58
ภาพที่ 4.18 ภาพถ่าย SEM กำลังขยาย 20,000 เท่า ของวัสดุผง SiHA ที่ยังไม่ได้แคลไซน์	59
ภาพที่ 4.19 ภาพถ่าย SEM กำลังขยาย 20,000 เท่า ของวัสดุผง SiHA ที่เผาแคลไซน์ 600°C เป็นเวลา 4 ชั่วโมง	60

สารบัญภาพ (ต่อ)

	หน้า
ภาพที่ 4.20 ผลของค่าความเด็นและความเครียดของวัสดุของชิ้นงานวัสดุเชิงประกอบของ HA/PCL เมื่อ P40 แทน HA/PCL เท่ากับ 6/4 wt%, P60 แทน HA/PCL 4/6, P80 แทน HA/PCL เท่ากับ 2/8 wt% และ P100 แทน PCL บริสุทธิ์ (HA commercial) แสดงกราฟแท่งค่าความด้านทานแรงกดของชิ้นงานวัสดุเชิงประกอบของ HA/PCL เมื่อ P0 แทน HA/PCL เท่ากับ 10/0 wt%, P40 แทน HA/PCL เท่ากับ 6/4 wt%, P60 แทน HA/PCL เท่ากับ 4/6 wt%, P80 แทน HA/PCL เท่ากับ 2/8 wt% และ P100 แทน PCL บริสุทธิ์ (HA commercial)	62
ภาพที่ 4.21 ภาพที่ 4.22 ผลของค่าความเด็นและความเครียดของวัสดุของชิ้นงานวัสดุเชิงประกอบของ HA/PCL เมื่อ P40 แทน HA/PCL เท่ากับ 6/4 wt%, P60 แทน HA/PCL เท่ากับ 4/6 wt%, P80 แทน HA/PCL เท่ากับ 2/8 wt% และ P100 แทน PCL บริสุทธิ์ (HA synthesis) ผลของค่าความด้านทานแรงกดของวัสดุของชิ้นงานวัสดุเชิงประกอบของ HA/PCL เมื่อ P0 แทน HA/PCL เท่ากับ 10/0 wt%, P40 แทน HA/PCL เท่ากับ 6/4 wt%, P60 แทน HA/PCL เท่ากับ 4/6 wt%, P80 แทน HA/PCL เท่ากับ 2/8 wt% และ P100 แทน PCL บริสุทธิ์ (HA synthesis)	63
ภาพที่ 4.23 ภาพที่ 4.24 ผลของค่าความเด็นและความเครียดของวัสดุของชิ้นงานวัสดุเชิงประกอบของ SiHA/PCL (Si 1 wt%) เมื่อ P40 แทน SiHA/PCL เท่ากับ 6/4 wt%, P60 แทน SiHA/PCL เท่ากับ 4/6 wt%, P80 แทน SiHA/PCL เท่ากับ 2/8 wt% และ P100 แทน PCL บริสุทธิ์	64
ภาพที่ 4.25 ผลของค่าความเด็นและความเครียดของวัสดุของชิ้นงานวัสดุเชิงประกอบของ SiHA/PCL (Si 1 wt%) เมื่อ P0 แทน SiHA/PCL เท่ากับ 10/0 wt%, P40 แทน SiHA/PCL เท่ากับ 6/4 wt%, P60 แทน SiHA/PCL เท่ากับ 4/6 wt%, P80 แทน SiHA/PCL เท่ากับ 2/8 wt% และ P100 แทน PCL บริสุทธิ์	65
ภาพที่ 4.26 ผลของค่าความเด็นและความเครียดของวัสดุของชิ้นงานวัสดุเชิงประกอบของ SiHA/PCL (Si 3 wt%) เมื่อ P40 แทน SiHA/PCL เท่ากับ 6/4 wt%, P60 แทน SiHA/PCL เท่ากับ 4/6 wt%, P80 แทน SiHA/PCL เท่ากับ 2/8 wt% และ P100 แทน PCL บริสุทธิ์	67
	68
	69

สารบัญภาพ (ต่อ)

	หน้า
ภาพที่ 4.27 ผลของค่าความด้านทานแรงกดของวัสดุของชิ้นงานวัสดุเชิงประกอบของ SiHA/PCL (Si 3 wt%) เมื่อ P0 แทน SiHA/PCL เท่ากับ 10/0 wt%, P40 แทน SiHA/PCL เท่ากับ 6/4 wt%, P60 แทน SiHA/PCL เท่ากับ 4/6 wt%, P80 แทน SiHA/PCL เท่ากับ 2/8 wt% และ P100 แทน PCL บริสุทธิ์	70
ภาพที่ 4.28 ผลของค่าความเค้นและความเครียดของวัสดุของชิ้นงานวัสดุเชิงประกอบของ SiHA/PCL (Si 5 wt%) เมื่อ P40 แทน SiHA/PCL เท่ากับ 6/4 wt%, P60 แทน SiHA/PCL เท่ากับ 4/6 wt%, P80 แทน SiHA/PCL เท่ากับ 2/8 wt% และ P100 แทน PCL บริสุทธิ์	71
ภาพที่ 4.29 ผลของค่าความความด้านทานแรงกดของวัสดุของชิ้นงานวัสดุเชิงประกอบของ SiHA/PCL (Si 5 wt%) เมื่อ P0 แทน SiHA/PCL เท่ากับ 10/0 wt%, P40 แทน SiHA/PCL เท่ากับ 6/4 wt%, P60 แทน SiHA/PCL เท่ากับ 4/6 wt%, P80 แทน SiHA/PCL เท่ากับ 2/8 wt% และ P100 แทน PCL บริสุทธิ์	72
ภาพที่ 4.30 ผลรวมของค่าความด้านทานแรงกดของวัสดุของชิ้นงานวัสดุเชิงประกอบของ SiHA/PCL เมื่อ P0 แทน SiHA/PCL เท่ากับ 10/0 wt%, P40 แทน SiHA/PCL เท่ากับ 6/4 wt%, P60 แทน SiHA/PCL เท่ากับ 4/6 wt% และ P80 แทน SiHA/PCL เท่ากับ 2/8 wt%	73